

สารบัญ

| บทที่ | หน้า |
|---|------|
| 1 บทนำ..... | 1 |
| ความเป็นมาและความสำคัญของปัญหา | 1 |
| จุดมุ่งหมายของการวิจัย | 12 |
| ขอบเขตของการวิจัย | 12 |
| สมมุติฐานของการวิจัย..... | 13 |
| 2 เอกสารและงานวิจัยที่เกี่ยวข้อง..... | 15 |
| เซอร์โคเนียมออกไซด์ที่เจือด้วยไอออนบวกสองหรือสาม..... | 15 |
| ผลของการใช้สารตัวเติมหรือสารเร่งอิริธที่แตกต่างกัน | 20 |
| ผลของการใช้สารตัวหลักที่แตกต่างกัน | 22 |
| ผลของการใช้สารคีเลตตั้งที่แตกต่างกัน..... | 25 |
| ผลของการใช้ซิงค์ออกไซด์เป็นสารตัวหลัก | 31 |
| 3 วิธีดำเนินการวิจัย..... | 35 |
| การเตรียมสารตัวอย่างโดยใช้วิธีโซล-เจล | 35 |
| การเตรียมสารตัวอย่างโดยใช้วิธีโซลโวกเทอร์มอล | 37 |
| เครื่องมือที่ใช้ในการวิจัย..... | 39 |
| 4 ผลการวิจัย..... | 44 |
| ผลของการเจืออิทเตรียมต่อสมบัติทางโครงสร้างผลึกและสมบัติการคายแสงของ สารฟอสฟอรัสสังเคราะห์โดยใช้วิธีโซล-เจล | 47 |
| ผลของสารคีเลตตั้งต่อการเกิดผลึกของ $Zr:Y_7:Sm_{0.25}$ สังเคราะห์โดยใช้วิธีโซล-เจล..... | 52 |
| ผลของสารคีเลตตั้งต่อการเกิดผลึกของ $Zr:Y_4:Eu_3$ สังเคราะห์โดยใช้วิธีโซล-เจล..... | 75 |
| ผลของสารคีเลตตั้งต่อคุณสมบัติต่างๆ ของซิงค์ออกไซด์ที่เจือด้วยขามาเรียม หรือยูโรเปียม สังเคราะห์ด้วยวิธีโซล-เจล | 98 |

สารบัญ (ต่อ)

| บทที่ | หน้า |
|--|------|
| ผลของสารสีเลดตั้งต่อคุณสมบัติต่างๆ ของเซอร์โคเนียมออกไซด์ที่เจือด้วย อิทเทรียม และซามาเรียมหรือยูโรเปียม โดยการสังเคราะห์ด้วย วิธีโซลโวเทอร์มอล..... 110 | |
| 5 บทสรุป..... | 123 |
| การเจืออิทเทรียมต่อสมบัติทางโครงสร้างผลึกและสมบัติการคายแสงของสาร ฟอสฟอรัสสังเคราะห์โดยใช้วิธีโซล-เจล..... 123 | |
| ผลกระทบของสารสีเลดตั้งต่อคุณสมบัติต่างๆ ของสารฟอสฟอรัส $Zr:Y_7:Sm_{0.25}$ สังเคราะห์โดยวิธีโซล-เจล..... 123 | |
| ผลกระทบของสารสีเลดตั้งต่อคุณสมบัติต่างๆ ของ $Zr:Y_4:Eu_3$ สังเคราะห์โดย วิธีโซล-เจล..... 124 | |
| ผลกระทบของสารสีเลดตั้งที่มีต่อคุณสมบัติต่างๆ ของซิงค์ออกไซด์ที่เจือด้วย ซามาเรียมหรือยูโรเปียม สังเคราะห์ด้วยวิธีโซล-เจล..... 124 | |
| ผลกระทบของสารสีเลดตั้งที่มีต่อคุณสมบัติต่างๆ ของเซอร์โคเนียมออกไซด์ที่เจือ อิทเทรียม และซามาเรียมหรือยูโรเปียม สังเคราะห์ด้วยวิธีโซลโวเทอร์มอล.... 125 | |
| บรรณานุกรม..... | 126 |
| ภาคผนวก..... | 135 |
| อภิธานศัพท์..... | 162 |
| ประวัติผู้วิจัย..... | 164 |

สารบัญตาราง

| ตาราง | หน้า |
|---|------|
| 1 แสดงค่าการแตกตัวของสารคีเลตตั้ง | 14 |
| 2 แสดงขนาดผลึกของสารตัวอย่างเซอร์โคเนียมออกไซด์ที่ไม่มีกำมะถัน และมีการเจือด้วย อิทเทรียม 7 mol% และซามาเรียม 0.25 mol% ที่อุณหภูมิ 900°C เป็นเวลา 3 ชั่วโมง..... | 49 |
| 3 แสดงขนาดผลึกของ $Zr:Y_7:Sm_{0.25}$ เมื่อใช้สารคีเลตตั้งต่างกันที่อุณหภูมิการเผาแคลไซน์ 400 - 900°C เป็นเวลา 3 ชั่วโมง | 57 |
| 4 แสดงขนาดผลึกของสาร $Zr:Y_4:Eu_3$ เมื่อใช้สารคีเลตตั้งต่างกัน และใช้อุณหภูมิการเผา แคลไซน์ 400 - 800°C เป็นเวลา 1 ชั่วโมง..... | 80 |
| 5 แสดงขนาดผลึกของซิงค์ออกไซด์ที่ไม่ได้เติมสารเจือปน และซิงค์ออกไซด์ที่เจือด้วย ซามาเรียม 5 mol% เมื่อใช้สารคีเลตตั้งแตกต่างกัน..... | 100 |
| 6 แสดงขนาดผลึกของซิงค์ออกไซด์ที่ถูกเจือด้วยซามาเรียม 1 - 5 mol% เมื่อใช้ EDTA เป็นสารคีเลตตั้ง ที่อุณหภูมิการเผาแคลไซน์ 900°C เป็นเวลา 3 ชั่วโมง..... | 103 |
| 7 แสดงขนาดผลึกของซิงค์ออกไซด์และซิงค์ออกไซด์ที่เจือด้วยยูโรเปียม 5 mol% เมื่อใช้ สารคีเลตตั้งแตกต่างกัน ที่อุณหภูมิการเผาแคลไซน์ 900°C เป็นเวลา 3 ชั่วโมง | 105 |
| 8 แสดงขนาดผลึกของซิงค์ออกไซด์ที่ถูกเจือด้วยยูโรเปียม 1 - 5 mol% เมื่อใช้ EDTA เป็น สารคีเลตตั้ง ที่อุณหภูมิการเผาแคลไซน์ 900°C เป็นเวลา 3 ชั่วโมง..... | 109 |
| 9 แสดงขนาดผลึกของ $Zr:Y_7:Sm_{0.25}$ ที่อุณหภูมิ 200°C เมื่อใช้สารคีเลตตั้งที่แตกต่างกัน ... | 113 |
| 10 แสดงขนาดผลึกของ $Zr:Y_4:Eu_3$ ที่อุณหภูมิ 200°C เมื่อใช้สารคีเลตตั้งชนิดต่างๆ | 119 |

สารบัญภาพ

| ภาพ | หน้า |
|---|------|
| 1 ตัวอย่างการประยุกต์ใช้สารเรืองแสง | 2 |
| 2 แผนภาพแสดงระดับพลังงาน Jablonski เกี่ยวกับการดูดกลืนและการแผ่รังสี..... | 3 |
| 3 โครงสร้างของผลึกเซอร์โคเนียมออกไซด์..... | 5 |
| 4 โครงสร้างของผลึกของซิงค์ออกไซด์..... | 6 |
| 5 ตัวอย่างการคายแสงของสารตัวเติม | 6 |
| 6 แสดงระดับพลังงานเมื่อถูกกระตุ้นของกลุ่มธาตุแลนทาไนด์ (Ln^{3+}) | 8 |
| 7 ตัวอย่างการส่งถ่ายพลังงานของเซอร์โคเนียมออกไซด์ไปยังซามาเรียม..... | 9 |
| 8 การสังเคราะห์สารฟอสฟอโรในสภาวะที่เป็นของแข็งหรือมิกซ์ออกไซด์..... | 9 |
| 9 การสังเคราะห์สารฟอสฟอโรโดยใช้วิธีไฮโดรเทอร์มอลและวิธีโซลโวเทอร์มอล | 10 |
| 10 การสังเคราะห์สารฟอสฟอโรโดยใช้วิธีโซล-เจล..... | 11 |
| 11 โครงสร้างของสารเคลือบ..... | 14 |
| 12 การจับกันระหว่างสารเคลือบกับโลหะ | 14 |
| 13 (a) อิทเทียมที่เจืออยู่ในโครงสร้างเซอร์โคเนียม (Yttria-Stabilised Zirconia (YSZ)) และ (b) การขนส่งภายในช่องว่างของออกซิเจน (Vacancy transport in YSZ) | 16 |
| 14 สเปกตรากการเลี้ยวเบนของรังสีเอ็กซ์ของสารตัวอย่างเซอร์โคเนียมออกไซด์ที่ถูกเจือด้วย อิทเทียมที่มีความเข้มข้นแตกต่างกัน จาก 0 ถึง 4 mol%..... | 16 |
| 15 สเปกตรากการเลี้ยวเบนของรังสีเอ็กซ์ของ $ZrO_2 : Y_x$ โดยที่ $x = 0 - 10$ mol% | 18 |
| 16 สเปกตรากการเลี้ยวเบนของรังสีเอ็กซ์ของสาร $ZrO_2 : Mn, Cl$ ที่อุณหภูมิ (a) $300^\circ C$ (b) $400^\circ C$ และ (c) $500^\circ C$ | 19 |
| 17 สเปกตรากการเลี้ยวเบนรังสีเอ็กซ์ของ $ZrO_2 : 5\% Ce$ ที่อุณหภูมิ 400 - $500^\circ C$ | 19 |
| 18 สเปกตรากการเลี้ยวเบนรังสีเอ็กซ์ของสาร YAG ที่เติมด้วยซามาเรียม ซีเซียม หรือเทอร์เบียม | 21 |
| 19 สเปกตรากการกระตุ้นแสง และสเปกตรากการคายแสงของสารตัวอย่าง YAG ที่เติมด้วย ซามาเรียม ซีเซียมหรือเทอร์เบียม..... | 21 |
| 20 สเปกตรากการคายแสงของสารตัวอย่าง YAG ที่เจือด้วยยูโรเปียม โดยใช้อุณหภูมิการเผา แคลไซน์ที่ $700^\circ C$ (ซ้าย) และ $800^\circ C$ (ขวา) | 22 |

สารบัญภาพ (ต่อ)

| ภาพ | หน้า |
|---|------|
| 21 สเปกตรากการเลี้ยวเบนของรังสีเอ็กซ์ของ $\text{LaPO}_4:\text{Eu}^{3+}$ | 23 |
| 22 สเปกตรากการเลี้ยวเบนของรังสีเอ็กซ์ของ $\text{CeO}_2:\text{Eu}^{3+}$ | 23 |
| 23 สเปกตรากการกระตุ้นแสง (a) และสเปกตรากการคายแสง (b) ของ $\text{LaPO}_4:\text{Eu}^{3+}$ | 24 |
| 24 สเปกตรากการกระตุ้นแสง (a) และ สเปกตรากการคายแสง (b) ของ $\text{CeO}_2:\text{Eu}^{3+}$ | 24 |
| 25 สเปกตรากการเลี้ยวเบนของรังสีเอ็กซ์ของ $\text{ZrO}_2:\text{Eu}$ ที่อุณหภูมิการเผาแคลไซน์ (a) 500°C (b) 800°C (c) 1000°C | 25 |
| 26 สเปกตรากการคายแสงของ $\text{ZrO}_2:\text{Eu}$ โดยใช้อุณหภูมิการเผาแคลไซน์ที่ (a) 500°C (b) 800°C (c) 1000°C | 26 |
| 27 สเปกตรากการเลี้ยวเบนของรังสีเอ็กซ์ของ $\text{YSZ}:\text{Eu}$ ที่มีความเข้มข้นของยูโรเปียมในช่วง 0.5 ถึง 10 at% | 27 |
| 28 พื้นที่สัมผัสสเปกตรากการคายแสงของ $\text{YSZ}:0.5\text{-}10 \text{ mol}\% \text{Eu}^{3+}$ | 27 |
| 29 สเปกตรากการเลี้ยวเบนของรังสีเอ็กซ์ของ $\text{Y}_2\text{O}_3:\text{Eu}$ ที่อุณหภูมิ 500-1250 $^\circ\text{C}$ | 28 |
| 30 สเปกตรากการกระตุ้นแสง (ซ้าย) และสเปกตรากการคายแสง (ขวา) ของสารฟอสฟอรัส $\text{Y}_2\text{O}_3:\text{Eu}$ ที่อุณหภูมิ 500-1250 $^\circ\text{C}$ | 28 |
| 31 พื้นที่สัมผัสสเปกตรากการคายแสงของ $\text{Y}_2\text{O}_3:\text{Eu}$ ที่อุณหภูมิ 500-1250 $^\circ\text{C}$ | 29 |
| 32 สเปกตรากการเลี้ยวเบนของรังสีเอ็กซ์ของ $\text{Y}_2\text{O}_3:\text{Eu}$ ภายหลังจากทำการเตรียมสาร ตัวอย่างเป็นเวลา 12 ชั่วโมง โดยใช้อุณหภูมิ (a) 80°C (b) 160°C (c) 200°C และ (d) หลังจาก ให้ความร้อนตัวอย่าง c ที่ 700°C เป็นเวลา 4 ชั่วโมง | 30 |
| 33 สเปกตรากการคายแสงของ $\text{Y}_2\text{O}_3:\text{Eu}^{3+}$ (5%) | 30 |
| 34 สเปกตรากการคายแสงของ SAO-ED และ SAO-ED ที่ใช้สารคีเลตดิ่งต่างกัน | 31 |
| 35 สเปกตรากการเลี้ยวเบนรังสีเอ็กซ์ของ $\text{ZnO}:1.5\text{-}10 \text{ mol}\% \text{Eu}^{3+}$ ที่ 1000°C | 32 |
| 36 สเปกตรากการเลี้ยวเบนรังสีเอ็กซ์ของ $\text{ZnO}:5 \text{ mol}\% \text{Eu}^{3+}$ ที่อุณหภูมิต่างกัน | 33 |
| 37 พื้นที่สัมผัสสเปกตรากการคายแสงของ $\text{ZnO}:1.5\text{-}10 \text{ mol}\% \text{Eu}^{3+}$ | 33 |
| 38 สเปกตรากการเลี้ยวเบนของรังสีเอ็กซ์ของ $\text{ZnO}:0 - 20 \text{ wt}\% \text{Eu}^{3+}$ | 34 |
| 39 สเปกตรากการคายแสงของ $\text{ZnO}:0 - 20 \text{ wt}\% \text{Eu}^{3+}$ | 34 |
| 40 แผนภาพกระบวนการสังเคราะห์ $\text{Zr}:\text{Y}_7:\text{Sm}_{0.25}$ และ $\text{Zr}:\text{Y}_4:\text{Eu}_3$ โดยวิธีโซล-เจล | 36 |

สารบัญภาพ (ต่อ)

| ภาพ | หน้า |
|---|------|
| 41 แผนภาพแสดงกระบวนการสังเคราะห์ Zn:Sm หรือ Zn:Eu โดยวิธีโซล-เจล..... | 38 |
| 42 แผนภาพกระบวนการสังเคราะห์ $Zr:Y_7:Sm_{0.25}$ และ $Zr:Y_4:Eu_3$ โดยใช้วิธี โซลโวลเทอรัมอล | 38 |
| 43 กฎของแบรกก์สามารถหาได้จากค่าการเลี้ยวเบนของรังสีเอกซ์โดยระนาบของอะตอม | 40 |
| 44 แผนผังแสดงการกระตุ้นแสงและการคายแสงของเครื่องสเปกโตรมิเตอร์ | 41 |
| 45 กระบวนการเตรียมสารตัวอย่างเพื่อทำการวิเคราะห์สมบัติทางแสง | 42 |
| 46 กระบวนการเตรียมสารตัวอย่างเพื่อทำการวิเคราะห์โดยใช้ SEM..... | 43 |
| 47 สเปกตรากการคายแสงของสาร $Zr:Y_x:Sm_{0.25}$ ($x = 1, 3, 5, 7$) โดยที่ใช้อุณหภูมิการเผา แคลไซน์ที่ $900^{\circ}C$ เป็นเวลา 3 ชั่วโมง | 45 |
| 48 พื้นที่สัมพัทธ์จากสเปกตรากการคายแสงในช่วงความยาวคลื่น 550-750 นาโนเมตร ของ $Zr:Y_x:Sm_{0.25}$ ($x = 1, 3, 5, 7$) ที่อุณหภูมิ $900^{\circ}C$ เป็นเวลา 3 ชั่วโมง..... | 45 |
| 49 สเปกตรากการคายแสงของ $Zr:Y_x:Eu_3$ ($x = 1 - 7$) โดยที่ใช้อุณหภูมิ $800^{\circ}C$ เป็นเวลา 1 ชั่วโมง | 46 |
| 50 พื้นที่สัมพัทธ์จากสเปกตรากการคายแสงในช่วงความยาวคลื่น 550-750 นาโนเมตร ของ $Zr:Y_x:Eu_3$ ($x = 1 - 7$) ที่อุณหภูมิ $800^{\circ}C$ เป็นเวลา 1 ชั่วโมง..... | 46 |
| 51 สเปกตรากการเลี้ยวเบนของรังสีเอกซ์ของสารตัวอย่าง (a) เซอร์โคเนียมออกไซด์ (b) เซอร์โคเนียมออกไซด์เจือด้วยซามาเรียม 0.25 mol% และ (c) เซอร์โคเนียม- ออกไซด์เจือด้วยอิทเทรียม 7 mol% และซามาเรียม 0.25 mol% ที่อุณหภูมิ $900^{\circ}C$ เป็นเวลา 3 ชั่วโมง | 48 |
| 52 สเปกตรากการกระตุ้นแสงของสาร (a) เซอร์โคเนียมออกไซด์ (b) เซอร์โคเนียมออกไซด์ เจือด้วยซามาเรียม 0.25 mol% และ (c) เซอร์โคเนียมออกไซด์เจือด้วยอิทเทรียม 7 mol% และซามาเรียม 0.25 mol% ที่อุณหภูมิ $900^{\circ}C$ เป็นเวลา 3 ชั่วโมง | 49 |
| 53 สเปกตรากการคายแสงของ (a) เซอร์โคเนียมออกไซด์ (b) เซอร์โคเนียมออกไซด์เจือด้วย ซามาเรียม 0.25 mol% และ (c) เซอร์โคเนียมออกไซด์เจือด้วยอิทเทรียม 7 mol% และซามาเรียม 0.25 mol% ที่อุณหภูมิ $900^{\circ}C$ เป็นเวลา 3 ชั่วโมง | 50 |

สารบัญภาพ (ต่อ)

ภาพ

หน้า

- 54 ภาพถ่ายจากกล้องจุลทรรศน์อิเล็กตรอนแบบส่องกราดของสารฟอสฟอไรต์ตัวอย่าง
(a) เซอร์โคเนียมออกไซด์ (b) เซอร์โคเนียมออกไซด์ที่เจือด้วยซามาเรียม 0.25 mol%
และ (c) เซอร์โคเนียมออกไซด์ที่เจือด้วยอิทเทรียม 7 mol% และซามาเรียม
0.25 mol% โดยใช้อุณหภูมิการเผาแคลไซน์ที่ 900°C เป็นเวลา 3 ชั่วโมง51
- 55 สเปกตรากการเลี้ยวเบนรังสีเอ็กซ์ของสารตัวอย่าง $Zr:Y_7:Sm_{0.25}$ โดยที่ใช้กรดซिटริกเป็นสาร
คีเลตติง ใช้อุณหภูมิการเผาแคลไซน์ที่ (a) 400°C (b) 500°C (c) 600°C
(d) 700°C (e) 800°C และ (f) 900°C เป็นเวลา 3 ชั่วโมง55
- 56 สเปกตรากการเลี้ยวเบนรังสีเอ็กซ์ของ $Zr:Y_7:Sm_{0.25}$ ที่ใช้ EDTA เป็นสารคีเลตติง
ที่อุณหภูมิการเผาแคลไซน์ (a) 400°C (b) 500°C (c) 600°C (d) 700°C
(e) 800°C และ (f) 900°C เป็นเวลา 3 ชั่วโมง55
- 57 สเปกตรากการเลี้ยวเบนรังสีเอ็กซ์ของสารตัวอย่าง $Zr:Y_7:Sm_{0.25}$ โดยที่ใช้กรดมาลิกเป็น
สารคีเลตติง ใช้อุณหภูมิการเผาแคลไซน์ที่ (a) 400°C (b) 500°C (c) 600°C
(d) 700°C (e) 800°C และ (f) 900°C เป็นเวลา 3 ชั่วโมง56
- 58 สเปกตรากการเลี้ยวเบนของรังสีเอ็กซ์ของ $Zr:Y_7:Sm_{0.25}$ โดยที่ใช้กรดออกซาลิกเป็นสาร
คีเลตติง โดยใช้อุณหภูมิการเผาแคลไซน์ที่ (a) 400°C (b) 500°C (c) 600°C
(d) 700°C (e) 800°C และ (f) 900°C เป็นเวลา 3 ชั่วโมง56
- 59 สเปกตรากการคายแสงของสาร $Zr:Y_7:Sm_{0.25}$ โดยที่ใช้กรดซिटริกเป็นสารคีเลตติง
ที่อุณหภูมิการเผาแคลไซน์ (a) 400°C (b) 500°C (c) 600°C (d) 700°C
(e) 800°C และ (f) 900°C เป็นเวลา 3 ชั่วโมง59
- 60 พื้นที่สัมพัทธ์จากสเปกตรากการคายแสงในช่วงความยาวคลื่น 550-750 นาโนเมตร
ของ $Zr:Y_7:Sm_{0.25}$ เมื่อใช้กรดซिटริกเป็นสารคีเลตติง ที่อุณหภูมิการเผาแคลไซน์
400 - 900°C เป็นเวลา 3 ชั่วโมง60
- 61 สเปกตรากการคายแสงของ $Zr:Y_7:Sm_{0.25}$ เมื่อใช้ EDTA เป็นสารคีเลตติงที่อุณหภูมิการ
เผาแคลไซน์ (a) 400°C (b) 500°C (c) 600°C (d) 700°C (e) 800°C และ
(f) 900°C เป็นเวลา 3 ชั่วโมง60

สารบัญภาพ (ต่อ)

| ภาพ | หน้า |
|---|------|
| 62 พื้นที่สัมผัสจากสเปกตรากายแสงในช่วงความยาวคลื่น 550-750 นาโนเมตร ของ $Zr:Y_7:Sm_{0.25}$ เมื่อใช้กรด EDTA เป็นสารคีเลตติง ที่อุณหภูมิการเผาแคลไซน์ 400 - 900°C เป็นเวลา 3 ชั่วโมง..... | 61 |
| 63 สเปกตรากายแสงของสาร $Zr:Y_7:Sm_{0.25}$ เมื่อใช้กรดมาลิกเป็นสารคีเลตติง ที่อุณหภูมิการเผาแคลไซน์ (a) 400°C (b) 500°C (c) 600°C (d) 700°C (e) 800°C และ (f) 900°C เป็นเวลา 3 ชั่วโมง | 61 |
| 64 พื้นที่สัมผัสจากสเปกตรากายแสงในช่วงความยาวคลื่น 550-750 นาโนเมตร ของ $Zr:Y_7:Sm_{0.25}$ เมื่อใช้กรดมาลิกเป็นสารคีเลตติง ที่อุณหภูมิการเผาแคลไซน์ 400 - 900°C เป็นเวลา 3 ชั่วโมง..... | 62 |
| 65 สเปกตรากายแสงของ $Zr:Y_7:Sm_{0.25}$ เมื่อใช้กรดออกซาลิกเป็นสารคีเลตติง ที่อุณหภูมิการเผาแคลไซน์ (a) 400°C (b) 500°C (c) 600°C (d) 700°C (e) 800°C และ (f) 900°C เป็นเวลา 3 ชั่วโมง | 62 |
| 66 พื้นที่สัมผัสจากสเปกตรากายแสงในช่วงความยาวคลื่น 550-750 นาโนเมตร ของ สาร $Zr:Y_7:Sm_{0.25}$ เมื่อใช้กรดออกซาลิกเป็นสารคีเลตติง ที่อุณหภูมิการเผาแคลไซน์ 400 - 900°C เป็นเวลา 3 ชั่วโมง | 63 |
| 67 ภาพถ่ายจากกล้องจุลทรรศน์อิเล็กตรอนแบบส่องกราดของสาร $Zr:Y_7:Sm_{0.25}$ เมื่อใช้กรด ซิตริกเป็นสารคีเลตติง ที่อุณหภูมิการเผาแคลไซน์ (a) 400°C (b) 500°C (c) 600°C (d) 700°C (e) 800°C และ (f) 900°C เป็นเวลา 3 ชั่วโมง | 65 |
| 68 ภาพถ่ายจากกล้องจุลทรรศน์อิเล็กตรอนแบบส่องกราดของสาร $Zr:Y_7:Sm_{0.25}$ เมื่อใช้ EDTA เป็นสารคีเลตติง ที่อุณหภูมิในการเผาแคลไซน์ (a) 400°C (b) 500°C (c) 600°C (d) 700°C (e) 800°C และ (f) 900°C เป็นเวลา 3 ชั่วโมง | 66 |
| 69 ภาพถ่ายจากกล้องจุลทรรศน์อิเล็กตรอนแบบส่องกราดของสาร $Zr:Y_7:Sm_{0.25}$ เมื่อใช้กรด มาลิกเป็นสารคีเลตติง ที่อุณหภูมิการเผาแคลไซน์ (a) 400°C (b) 500°C (c) 600°C (d) 700°C (e) 800°C และ (f) 900°C เป็นเวลา 3 ชั่วโมง | 67 |

สารบัญภาพ (ต่อ)

ภาพ

หน้า

- 70 ภาพถ่ายจากกล้องจุลทรรศน์อิเล็กตรอนแบบส่องกราดของ $Zr:Y_7:Sm_{0.25}$ เมื่อใช้กรดออกซาลิกเป็นสารคีเลตติ้ง ที่อุณหภูมิการเผาแคลไซน์ (a) $400^\circ C$ (b) $500^\circ C$ (c) $600^\circ C$ (d) $700^\circ C$ (e) $800^\circ C$ และ (f) $900^\circ C$ เป็นเวลา 3 ชั่วโมง68
- 71 ความสัมพันธ์ของขนาดผลึกต่ออุณหภูมิการเผาแคลไซน์ในช่วง $400-900^\circ C$ เป็นเวลา 3 ชั่วโมง ของ $Zr:Y_7:Sm_{0.25}$ เมื่อใช้ (a) กรดซิตริก (b) EDTA (c) กรดมาลิก (d) กรดออกซาลิก เป็นสารคีเลตติ้ง70
- 72 ความสัมพันธ์ของพื้นที่สัมผัสจากสเปกตรากการคายแสงของสารตัวอย่างในช่วงความยาวคลื่น 550 - 750 นาโนเมตร ต่ออุณหภูมิการเผาแคลไซน์ในช่วง $400 - 900^\circ C$ เป็นเวลา 3 ชั่วโมง ของสารฟอสฟอรัส $Zr:Y_7:Sm_{0.25}$ เมื่อใช้ (a) กรดซิตริก (b) EDTA (c) กรดมาลิก (d) กรดออกซาลิก เป็นสารคีเลตติ้ง72
- 73 ความสัมพันธ์ของพื้นที่สัมผัสจากสเปกตรากการคายแสงของสารตัวอย่างในช่วงความยาวคลื่น 550 - 750 นาโนเมตร ต่อขนาดผลึกของ $Zr:Y_7:Sm_{0.25}$ ที่อุณหภูมิการเผาแคลไซน์ $400 - 900^\circ C$ เป็นเวลา 3 ชั่วโมง เมื่อใช้ (a) กรดซิตริก (b) EDTA (c) กรดมาลิก (d) กรดออกซาลิก เป็นสารคีเลตติ้ง75
- 74 สเปกตรากการเลี้ยวเบนของรังสีเอ็กซ์ของสาร $Zr:Y_4:Eu_3$ โดยที่ใช้กรดซิตริก เป็นสารคีเลตติ้ง ที่อุณหภูมิการเผาแคลไซน์ (a) $400^\circ C$ (b) $500^\circ C$ (c) $600^\circ C$ (d) $700^\circ C$ และ (e) $800^\circ C$ เป็นเวลา 1 ชั่วโมง78
- 75 สเปกตรากการเลี้ยวเบนของรังสีเอ็กซ์ของสารฟอสฟอรัส $Zr:Y_4:Eu_3$ โดยที่ใช้ EDTA เป็นสารคีเลตติ้ง ที่อุณหภูมิการเผาแคลไซน์ (a) $400^\circ C$ (b) $500^\circ C$ (c) $600^\circ C$ (d) $700^\circ C$ และ (e) $800^\circ C$ เป็นเวลา 1 ชั่วโมง78
- 76 สเปกตรากการเลี้ยวเบนของรังสีเอ็กซ์ของสาร $Zr:Y_4:Eu_3$ โดยที่ใช้กรดมาลิก เป็นสารคีเลตติ้ง โดยใช้อุณหภูมิการเผาแคลไซน์ที่ (a) $400^\circ C$ (b) $500^\circ C$ (c) $600^\circ C$ (d) $700^\circ C$ และ (e) $800^\circ C$ เป็นเวลา 1 ชั่วโมง79

สารบัญภาพ (ต่อ)

| ภาพ | หน้า |
|---|------|
| 77 สเปกตรากการเลี้ยวเบนของรังสีเอ็กซ์ของสาร $Zr:Y_4:Eu_3$ เมื่อใช้กรดออกซาลิกเป็นสาร คีเลตติง โดยใช้อุณหภูมิการเผาแคลไซน์ (a) $400^{\circ}C$ (b) $500^{\circ}C$ (c) $600^{\circ}C$ (d) $700^{\circ}C$ และ (e) $800^{\circ}C$ เป็นเวลา 1 ชั่วโมง | 79 |
| 78 สเปกตรากการกระตุ้นแสงของ $Zr:Y_4:Eu_3$ ที่อุณหภูมิการเผาแคลไซน์ $800^{\circ}C$ เป็นเวลา 1 ชั่วโมง | 81 |
| 79 สเปกตรากการคายแสงของ $Zr:Y_4:Eu_3$ เมื่อใช้กรดซิตริกเป็นสารคีเลตติง ที่อุณหภูมิการ เผาแคลไซน์ (a) $400^{\circ}C$ (b) $500^{\circ}C$ (c) $600^{\circ}C$ (d) $700^{\circ}C$ และ (e) $800^{\circ}C$ เป็นเวลา 1 ชั่วโมง | 84 |
| 80 พื้นที่สัมพัทธ์จากสเปกตรากการคายแสงในช่วงความยาวคลื่น 550-750 นาโนเมตร ของ $Zr:Y_4:Eu_3$ เมื่อใช้กรดซิตริกเป็นสารคีเลตติง ที่อุณหภูมิการเผาแคลไซน์ $400-800^{\circ}C$ เป็นเวลา 1 ชั่วโมง | 84 |
| 81 สเปกตรากการคายแสงของ $Zr:Y_4:Eu_3$ เมื่อใช้ EDTA เป็นสารคีเลตติง ที่อุณหภูมิการเผา แคลไซน์ (a) $400^{\circ}C$ (b) $500^{\circ}C$ (c) $600^{\circ}C$ (d) $700^{\circ}C$ และ (e) $800^{\circ}C$ เป็นเวลา 1 ชั่วโมง | 85 |
| 82 พื้นที่สัมพัทธ์จากสเปกตรากการคายแสงในช่วงความยาวคลื่น 550-750 นาโนเมตร ของ $Zr:Y_4:Eu_3$ เมื่อใช้ EDTA เป็นสารคีเลตติง ที่อุณหภูมิการเผาแคลไซน์ $400-800^{\circ}C$ เป็นเวลา 1 ชั่วโมง | 85 |
| 83 สเปกตรากการคายแสงของ $Zr:Y_4:Eu_3$ เมื่อใช้กรดมาลิกเป็นสารคีเลตติง ที่อุณหภูมิการ เผาแคลไซน์ (a) $400^{\circ}C$ (b) $500^{\circ}C$ (c) $600^{\circ}C$ (d) $700^{\circ}C$ และ (e) $800^{\circ}C$ เป็นเวลา 1 ชั่วโมง | 86 |
| 84 พื้นที่สัมพัทธ์จากสเปกตรากการคายแสงในช่วงความยาวคลื่น 550-750 นาโนเมตร ของ $Zr:Y_4:Eu_3$ เมื่อใช้กรดมาลิกเป็นสารคีเลตติง ที่อุณหภูมิการเผาแคลไซน์ $400-800^{\circ}C$ เป็นเวลา 1 ชั่วโมง | 86 |

สารบัญภาพ (ต่อ)

ภาพ

หน้า

- 85 สเปกตรากการคายแสงของสาร $Zr:Y_4:Eu_3$ เมื่อใช้กรดออกซาลิกเป็นสารคีเลตตั้ง ที่อุณหภูมิการเผาแคลไซน์ (a) $400^\circ C$ (b) $500^\circ C$ (c) $600^\circ C$ (d) $700^\circ C$ และ (e) $800^\circ C$ เป็นเวลา 1 ชั่วโมง87
- 86 พื้นที่สัมพัทธ์จากสเปกตรากการคายแสงในช่วงความยาวคลื่น 550-750 นาโนเมตรของ $Zr:Y_4:Eu_3$ เมื่อใช้กรดออกซาลิกเป็นสารคีเลตตั้ง ที่อุณหภูมิการเผาแคลไซน์ $400-800^\circ C$ เป็นเวลา 1 ชั่วโมง.....87
- 87 ภาพถ่ายจากกล้องจุลทรรศน์อิเล็กตรอนแบบส่องกราดของ $Zr:Y_4:Eu_3$ เมื่อใช้กรดซิตริกเป็นสารคีเลตตั้ง โดยใช้อุณหภูมิการเผาแคลไซน์ที่ (a) $400^\circ C$ (b) $500^\circ C$ (c) $600^\circ C$ (d) $700^\circ C$ และ (e) $800^\circ C$ เป็นเวลา 1 ชั่วโมง.....89
- 88 ภาพถ่ายจากกล้องจุลทรรศน์อิเล็กตรอนแบบส่องกราดของสาร $Zr:Y_4:Eu_3$ เมื่อใช้ EDTA เป็นสารคีเลตตั้ง โดยใช้อุณหภูมิการเผาแคลไซน์ที่ (a) $400^\circ C$ (b) $500^\circ C$ (c) $600^\circ C$ (d) $700^\circ C$ และ (e) $800^\circ C$ เป็นเวลา 1 ชั่วโมง.....90
- 89 ภาพถ่ายจากกล้องจุลทรรศน์อิเล็กตรอนแบบส่องกราดของ $Zr:Y_4:Eu_3$ เมื่อใช้กรดมาลิกเป็นสารคีเลตตั้ง โดยใช้อุณหภูมิการเผาแคลไซน์ที่ (a) $400^\circ C$ (b) $500^\circ C$ (c) $600^\circ C$ (d) $700^\circ C$ และ (e) $800^\circ C$ เป็นเวลา 1 ชั่วโมง.....91
- 90 ภาพถ่ายจากกล้องจุลทรรศน์อิเล็กตรอนแบบส่องกราดของ $Zr:Y_4:Eu_3$ เมื่อใช้กรดออกซาลิกเป็นสารคีเลตตั้ง ที่อุณหภูมิการเผาแคลไซน์ (a) $400^\circ C$ (b) $500^\circ C$ (c) $600^\circ C$ (d) $700^\circ C$ และ (e) $800^\circ C$ เป็นเวลา 1 ชั่วโมง.....92
- 91 ความสัมพันธ์ของขนาดผลึกต่ออุณหภูมิการเผาแคลไซน์ในช่วง $400-800^\circ C$ เป็นเวลา 1 ชั่วโมง ของ $Zr:Y_4:Eu_3$ เมื่อใช้ (a) กรดซิตริก (b) EDTA (c) กรดมาลิก และ (d) กรดออกซาลิก เป็นสารคีเลตตั้ง94
- 92 ความสัมพันธ์ของพื้นที่สัมพัทธ์จากสเปกตรากการคายแสงของสารตัวอย่างในช่วงความยาวคลื่น 550 - 750 นาโนเมตร ต่ออุณหภูมิการเผาแคลไซน์ในช่วง $400 - 800^\circ C$ เป็นเวลา 1 ชั่วโมง ของ $Zr:Y_4:Eu_3$ เมื่อใช้ (a) กรดซิตริก (b) EDTA (c) กรดมาลิก และ (d) กรดออกซาลิก เป็นสารคีเลตตั้ง96

สารบัญภาพ (ต่อ)

ภาพ

หน้า

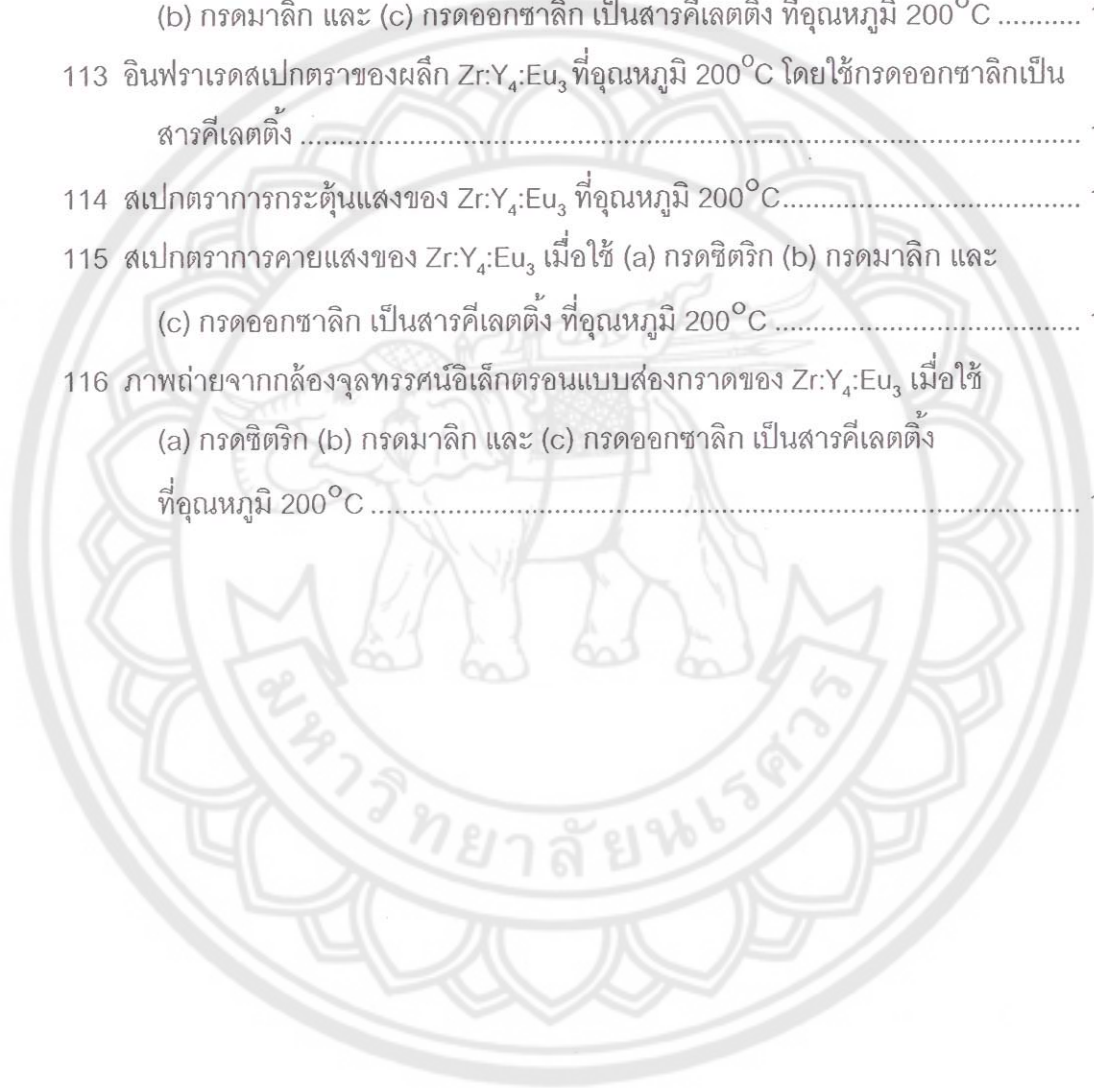
- 93 ความสัมพันธ์ของพื้นที่สัมพัทธ์จากสเปกตรากการคายแสงของสารตัวอย่างในช่วงความยาวคลื่น 550 - 750 นาโนเมตร ต่อขนาดผลึกของสารตัวอย่าง $Zr:Y_4:Eu_3$ ที่อุณหภูมิการเผาแคลไซน์ในช่วง 400 - 800°C เป็นเวลา 1 ชั่วโมง เมื่อใช้ (a) กรดซิตริก (b) EDTA (c) กรดมาลิก (d) กรดออกซาลิก เป็นสารคีเลตติ้ง.....98
- 94 สเปกตรากการเลี้ยวเบนรังสีเอ็กซ์ของสารตัวอย่าง (a) ซิงค์ออกไซด์ (b) ซามาเรียมออกไซด์ และซิงค์ออกไซด์ที่มีการเจือซามาเรียม 5 mol% เมื่อใช้ (c) กรดซิตริก (d) EDTA (e) กรดมาลิก (f) กรดออกซาลิก เป็นสารคีเลตติ้ง ที่อุณหภูมิการเผาแคลไซน์ 900°C เป็นเวลา 3 ชั่วโมง.....99
- 95 สเปกตรากการกระตุ้นแสงของซิงค์ออกไซด์ และซิงค์ออกไซด์ที่เจือด้วยซามาเรียม 5 mol% เมื่อใช้ EDTA เป็นสารคีเลตติ้ง ที่อุณหภูมิ 900°C เป็นเวลา 3 ชั่วโมง..... 101
- 96 สเปกตรากการคายแสงของ (a) ซิงค์ออกไซด์ และซิงค์ออกไซด์ที่ทำการเจือด้วยซามาเรียม 5 mol% เมื่อมีการใช้ (b) กรดซิตริก (c) EDTA (d) กรดมาลิก (e) กรดออกซาลิก เป็นสารคีเลตติ้ง ที่อุณหภูมิ 900°C เป็นเวลา 3 ชั่วโมง..... 102
- 97 สเปกตรากการเลี้ยวเบนของรังสีเอ็กซ์ของซิงค์ออกไซด์ที่ถูกเจือซามาเรียม (a) 1 mol% (b) 3 mol% และ (c) 5 mol% เมื่อใช้ EDTA เป็นสารคีเลตติ้ง ที่อุณหภูมิการเผาแคลไซน์ 900°C เป็นเวลา 3 ชั่วโมง..... 103
- 98 สเปกตรากการคายแสงของซิงค์ออกไซด์ที่เจือซามาเรียม (a) 1 mol% (b) 3 mol% และ (c) 5 mol% เมื่อใช้ EDTA เป็นสารคีเลตติ้ง ที่อุณหภูมิการเผาแคลไซน์ 900°C เป็นเวลา 3 ชั่วโมง 104
- 99 สเปกตรากการเลี้ยวเบนของรังสีเอ็กซ์ของ (a) ซิงค์ออกไซด์ (b) ยูโรเปียมออกไซด์และซิงค์ออกไซด์ที่เจือด้วยยูโรเปียม 5 mol% เมื่อใช้ (c) กรดซิตริก (d) EDTA (e) กรดมาลิก และ (f) กรดออกซาลิก เป็นสารคีเลตติ้ง ที่อุณหภูมิการเผาแคลไซน์ 900°C เป็นเวลา 3 ชั่วโมง..... 105
- 100 สเปกตรากการกระตุ้นแสงของซิงค์ออกไซด์ที่เจือยูโรเปียม 5 mol% เมื่อใช้ EDTA เป็นสารคีเลตติ้ง ที่อุณหภูมิการเผาแคลไซน์ที่ 900°C เป็นเวลา 3 ชั่วโมง 107

สารบัญภาพ (ต่อ)

| ภาพ | หน้า |
|---|------|
| 101 สเปกตรากการคายแสงของ (a) ซิงค์ออกไซด์ และซิงค์ออกไซด์ที่เจือยูโรเปียม 5 mol% เมื่อใช้ (b) กรดซिटริก (c) EDTA (d) กรดมาลิก และ (e) กรดออกซาลิก เป็นสาร สีเลตติง ที่อุณหภูมิการเผาแคลไซน์ 900°C เป็นเวลา 3 ชั่วโมง..... | 107 |
| 102 สเปกตรากการเลี้ยวเบนของรังสีเอ็กซ์ของซิงค์ออกไซด์ที่ถูกเจือยูโรเปียม (a) 1 mol% (b) 3 mol% และ (c) 5 mol% เมื่อใช้ EDTA เป็นสารสีเลตติง ที่อุณหภูมิการเผา แคลไซน์ 900°C เป็นเวลา 3 ชั่วโมง..... | 108 |
| 103 สเปกตรากการคายแสงของสารซิงค์ออกไซด์ที่ถูกเจือด้วยยูโรเปียม (a) 1 mol% (b) 3 mol% และ (c) 5 mol% เมื่อใช้ EDTA เป็นสารสีเลตติง ที่อุณหภูมิการเผา แคลไซน์ 900°C เป็นเวลา 3 ชั่วโมง..... | 109 |
| 104 ภาพถ่ายจากกล้องจุลทรรศน์อิเล็กตรอนแบบส่องกราดของซิงค์ออกไซด์ที่เจือ (a) ซามาเรียม 5 mol% และ (b) ยูโรเปียม 5 mol% เมื่อใช้ EDTA สารสีเลตติง..... | 110 |
| 105 สเปกตรากการเลี้ยวเบนของรังสีเอ็กซ์ของ $Zr:Y_7:Sm_{0.25}$ เมื่อใช้กรดซिटริก เป็นสาร สีเลตติง ที่อุณหภูมิ (a) 160°C (b) 180°C และ (c) 200°C..... | 111 |
| 106 ภาพถ่ายจากกล้องจุลทรรศน์อิเล็กตรอนแบบส่องกราดของ $Zr:Y_7:Sm_{0.25}$ ใช้กรดซिटริก เป็นสารสีเลตติง ที่อุณหภูมิ (a) 160°C (b) 180°C และ (c) 200°C..... | 112 |
| 107 สเปกตรากการเลี้ยวเบนของรังสีเอ็กซ์ของ $Zr:Y_7:Sm_{0.25}$ เมื่อใช้ (a) กรดซिटริก (b) กรดมาลิก และ (c) กรดออกซาลิก เป็นสารสีเลตติง ที่อุณหภูมิ 200°C..... | 113 |
| 108 อินฟราเรดสเปกตราของผลึก $Zr:Y_7:Sm_{0.25}$ ที่อุณหภูมิ 200°C โดยมีการใช้กรด ออกซาลิกเป็นสารสีเลตติง..... | 114 |
| 109 สเปกตรากการกระตุ้นแสงของ $Zr:Y_7:Sm_{0.25}$ ที่อุณหภูมิ 200°C..... | 116 |
| 110 สเปกตรากการคายแสงของ $Zr:Y_7:Sm_{0.25}$ เมื่อใช้ (a) กรดซिटริก (b) กรดมาลิก และ (c) กรดออกซาลิก เป็นสารสีเลตติง ที่อุณหภูมิ 200°C..... | 116 |
| 111 ภาพถ่ายจากกล้องจุลทรรศน์อิเล็กตรอนแบบส่องกราดของ $Zr:Y_7:Sm_{0.25}$ เมื่อใช้ (a) กรดซिटริก (b) กรดมาลิก (c) กรดออกซาลิก เป็นสารสีเลตติง ที่อุณหภูมิ 200°C..... | 117 |

สารบัญภาพ (ต่อ)

| ภาพ | หน้า |
|--|------|
| 112 สเปกตรากการเลี้ยวเบนของรังสีเอ็กซ์ของสาร $Zr:Y_4:Eu_3$ เมื่อใช้ (a) กรดซिटริก (b) กรดมาลิก และ (c) กรดออกซาลิก เป็นสารคีเลตติง ที่อุณหภูมิ 200°C | 118 |
| 113 อินฟราเรดสเปกตราของผลึก $Zr:Y_4:Eu_3$ ที่อุณหภูมิ 200°C โดยใช้กรดออกซาลิกเป็น สารคีเลตติง | 120 |
| 114 สเปกตรากการกระตุ้นแสงของ $Zr:Y_4:Eu_3$ ที่อุณหภูมิ 200°C | 121 |
| 115 สเปกตรากการคายแสงของ $Zr:Y_4:Eu_3$ เมื่อใช้ (a) กรดซिटริก (b) กรดมาลิก และ (c) กรดออกซาลิก เป็นสารคีเลตติง ที่อุณหภูมิ 200°C | 122 |
| 116 ภาพถ่ายจากกล้องจุลทรรศน์อิเล็กตรอนแบบส่องกราดของ $Zr:Y_4:Eu_3$ เมื่อใช้ (a) กรดซिटริก (b) กรดมาลิก และ (c) กรดออกซาลิก เป็นสารคีเลตติง ที่อุณหภูมิ 200°C | 122 |



อักษรย่อ

| | | |
|--------------------|---|-------------------------------------|
| pH | = | power of hydrogen ion concentration |
| EDTA | = | Ethylenediaminetetraacetic acid |
| XRD | = | X-ray diffraction Spectroscopy |
| SEM | = | Scanning Electron Microscopy |
| PL | = | Photoluminescence |
| PLE | = | Photoluminescence Excitation |
| nm | = | nanometer |
| μm | = | micrometer |
| $^{\circ}\text{C}$ | = | degree Celsius |
| ml | = | milliliter |
| mol/l | = | Mol per litre |
| a.u. | = | arbitrary unit |
| at. | = | atomic |
| wt | = | weight |
| eV | = | electron volts |